

УДК 548.1:533.9

ВЛИЯНИЕ ИОННОЙ И ЛАЗЕРНОЙ ОБРАБОТКИ НА ПОВЕРХНОСТЬ СТАЛЕЙ

В.Г. Кириченко, В.Н. Леонов

Харьковский национальный университет им. В.Н. Каразина, Институт высоких технологий,
 61108, г. Харьков, пр. Курчатова, 31.
 E-mail: kirichenko@phh.univer.kharkov.ua

Поступила в редакцию 20 марта 2010 г.

Представлены результаты исследования структурно-фазовых превращений в альфа-железе и сталях после импульсного лазерного и ионного воздействия на их поверхность. Облучение ионами азота и титана ферритной стали 20 приводит к формированию в поверхностном слое (до 0,3 мкм) нитрида железа и фазы железо-титан. Импульсное лазерное воздействие на поверхность альфа-железа приводит к образованию в приповерхностном слое исходного ферромагнитного материала значительного количества аустенитной парамагнитной фазы (до 30%). При облучении на поверхности железа наряду с формированием парамагнитной фазы образуются ступенчатые структуры волнообразного типа, обусловленные процессами расплавления и сверхбыстрого охлаждения поверхностного слоя.

КЛЮЧЕВЫЕ СЛОВА: ионное и лазерное облучение, ферритные стали, фазовые превращения

INFLUENCE OF IONIC AND LASER TREATMENT ON STEELS SURFACE

V.G. Kirichenko, V.N. Leonov

*Kharkov Karazin National University, High Technology Institute,
 31 Kurchatov St., Kharkov, 61108, Ukraine.*

The results of research of structure - phase transformations in alpha-iron and steels after impulsive laser and ion influence on surface are presented. The irradiating by ions of nitrogen and the titan of ferritic steel 20 causes creation in surface layer (up to 0,3 mkm) nitride of iron and phase iron - titanium. Pulsing laser effect on a surface of an alpha-iron causes formation in a near-surface layer of the initial ferromagnetic material of a significant amount of an austenitic paramagnetic phase (up to 30 %). At an irradiation on a surface of iron along with creation of a paramagnetic phase the stepped structures of wavy type caused by processes of melting-down and superfast refrigerating of surface layer have been created.

KEY WORDS: ionic and laser irradiation, ferritic steels, phase transformations

ВПЛИВ ІОННОЇ І ЛАЗЕРНОЇ ОБРОБКИ НА ПОВЕРХНЮ СТАЛЕЙ

В.Г. Кіріченко, В.М. Леонов

*Харківський національний університет ім. В.Н. Каразіна, Інститут високих технологій,
 61108, м. Харків, пр. Курчатова, 31.*

Представлені результати дослідження структурно – фазових перетворень у альфа-залізі та сталях, підданих імпульсному лазерному та іонному впливу на поверхню. Опромінення іонами азоту і титану феритної сталі 20 спричиняє формування у поверхневому шарі (до 0,3мкм) нітриду заліза і фази залізо-титан. Імпульсний лазерний вплив на поверхню альфа-заліза призводить до утворення у приповерхневому шарі первинного феромагнітного матеріалу значної кількості аустенітної парамагнітної фази (до 30%). При опроміненні на поверхні заліза водночас з формуванням парамагнітної фази утворюються ступінчасті структури хвилеподібного типу, обумовлені процесами розплавлення та надшвидкого охолодження поверхневого шару.

КЛЮЧОВІ СЛОВА: іонне і лазерне опромінення, феритні сталі, фазові перетворювання.

Развитие ядерной энергетики и разработка более совершенных ядерных реакторов требует модернизации различных элементов конструкций АЭС [1, 2]. Это обуславливает необходимость исследований структурно-фазового состояния сталей в различных условиях термомеханического и радиационного воздействия. В частности, к таким воздействиям относится лазерная импульсная обработка поверхности сплавов. Большинство лазерных технологических процессов связано с нагревом, плавлением и испарением вещества. Среди методов обработки материалов лазерным излучением выделяется поверхностное упрочнение лучом лазера. При этом твердость повышается на 15-20% по сравнению с известными методами термообработки. Методы лазерной обработки зависят от плотности излучения лазера и времени его воздействия.

Облучение металлических материалов концентрированными потоками энергии, а также неметаллическими и металлическими ионами в широком диапазоне энергий, в последнее время широко используется для придания сплавам повышенного уровня эксплуатационных свойств. Однако механизм влияния облучения, в частности ионами азота, титана на свойства сплавов во многих случаях не установлен, что в определенной степени связано с отсутствием данных по влиянию облучения на изменение химического состава и свойства сталей и сплавов [3-9]. Тем не менее, применение ионных пучков для обработки и модификации поверхности изделий непрерывно расширяется. Это обусловлено разработкой новых технологических процессов с возможностью управления энергетическими и временными характеристиками концентрированных потоков энергии.

Целью данной работы являлось исследования структуры и фазового состава поверхностных слоев альфа-железа и сталей с различным содержанием углерода после импульсного лазерного и ионного облучения.

МЕТОДИКА ЭКСПЕРИМЕНТАЛЬНЫХ ИССЛЕДОВАНИЙ

Методами рентгеноструктурного анализа и мессбауэровской спектроскопии с регистрацией электронов внутренней конверсии (МСКЭ) на ядрах ^{57}Fe исследовали альфа-железо, сталь 20 и сталь X18H10T. Использовали высокочистое карбонильное железо, стали 20 и X18H10T в состоянии поставки. Импульсное лазерное облучение проводили с помощью YAG:Nd3+ лазера (энергия в импульсе 4-5 Дж, длительность импульса 30 - 50нс). Диаметр облученного пятна варьировали в пределах 2-10 мм. Лазерную импульсную обработку поверхности железа и сталей проводили в воздушной атмосфере при нормальных условиях. Поверхность стали 20 облучали азотом дозой $D=10^{16} \text{ см}^{-2}$ и энергией $E=30\text{КэВ}$. Поверхность стали 20 также обрабатывали пучком ионов Ti (ток $I=130\text{A}$, $t=2\text{s}$) с формированием слоя Ti толщиной 100Å. Согласно расчетам, проведенным в программе SRIM – 2006, с помощью функции «Ion Stopping & Range Tables», данные параметры пучка и толщина сформированного слоя соответствуют энергии ионов Ti^+ равной $E=22\text{КэВ}$.

Рентгеноструктурные и рентгенографическое исследования образцов сталей производились на установке ДРОН- 3,0 в $\text{Cu}-k_{\alpha}$ - излучении (глубина анализируемого слоя $\sim 2,7 \text{ мкм}$), в $\text{Fe}-k_{\alpha}$ и $\text{Co}-k_{\alpha}$ излучении (глубина анализируемого слоя $\sim 3 \text{ мкм}$). Точность определения параметра решетки $\pm 0,0005 \text{ \AA}$. С помощью МСКЭ на ядрах ^{57}Fe производилась идентификация железосодержащих фаз. Спектры резонансного рассеяния регистрировались с помощью спектрометра ЯГРС- 4. В качестве источника использовался ^{57}Co в матрице Cr. Толщина анализируемого слоя для МСКЭ $\approx 0,1 \text{ мкм}$. Металлографический анализ сталей проводили с помощью металлографического оптического микроскопа МИМ-8 и электронного микроскопа типа ЭВМ-100ЛМ. Анализ поверхности образцов производили с помощью сканирующего электронного микроскопа JEOL JSM-840.

РЕЗУЛЬТАТЫ И ОБСУЖДЕНИЕ

Импульсное лазерное облучение поверхности карбонильного железа и сталей в воздушной атмосфере при комнатной температуре не приводит к окислению поверхности за счет использования импульсов длительностью от 30 до 50 нс. Также не наблюдается изменения веса образцов (использовались весы типа АДВ - 200, точность 0,1 мг), что свидетельствует о практически полном отсутствии распыления поверхности образцов. Наблюдается оплавление поверхности. По мессбауеровским данным облучение железа и сталей приводит к образованию в приповерхностном слое исходного ферромагнитного материала парамагнитной фазы, количество которой зависит от содержания углерода в материале. Энергия лазерного излучения поглощается в скин-слое облучаемого вещества пленки и практически мгновенно (за время порядка 10^{-11} с) передается решетке поглащающего материала. Материал, поглотивший излучение, быстро за время порядка 1 нс, нагревается до температуры плавления. Остыивание материала сопровождается движением фронта отвердевания с характерными скоростями 10 м/с от границы раздела жидкость - твердое тело к поверхности. Это движение и «замораживает» концентрационное распределение легирующих атомов в поверхностном слое металлической матрицы. Необходимо отметить, что представленная здесь упрощенная модель не учитывает такие эффекты, возникающие при лазерном воздействии, как испарение, поглощение лазерного излучения в паре, плазмообразование, взаимодействие пара (плазмы) с расплавленным слоем матрицы.

По данным МСКЭ в поверхностном слое альфа-железа глубиной до 0,1 мкм после лазерного облучения образовалась аустенитная γ -фаза (рис. 1, 2). Основной структурной составляющей деформированных образцов стали 20 является феррит.

Облучение ионами азота поверхности сталей, в частности, стали 20 (рис. 3, 4) приводит к формированию достаточно большого количества парамагнитной фазы нитрида железа состава Fe_xN ($2 < x < 3$). Эта фаза термически стабильна до температур выше 400°C . С другой стороны при стимулированной ионами Ar имплантации ионов N в диапазоне $140^{\circ}\text{C} \leq T \leq 420^{\circ}\text{C}$ наблюдалась следующие фазовые превращения $\varepsilon\text{-Fe}_2\text{N} \rightarrow \varepsilon\text{-Fe}_{2+x}\text{N} + \varepsilon\text{-Fe}_{3,2}\text{N}$ и $\varepsilon\text{-Fe}_{3,2}\text{N} + \gamma'\text{-Fe}_4\text{N}$ фазу [5].

Облучение потоком ионов титана приводит к формированию интерметаллида железо-титан (рис. 5, 6). На рис. 5, 6 приведены спектры стали 20 до и после облучения ионами титана. Толщина сформированного слоя Ti составляла 100Å. Этим объясняется слабая интенсивность дублетного спектра рассеяния, расположенного вблизи нуля скоростей (рис. 6), образовавшейся парамагнитной фазы на поверхности стали после кратковременного облучения пучком. Таким образом, импульсное лазерное воздействие эффективно модифицирует поверхностные слои сплавов на основе железа и позволяет при совместном лазерном и ионном облучении поверхности стали регулировать относительное содержание альфа и гамма – фаз.

Приведенные на рис. 4 и 6 спектры отражают процесс формирования в ферромагнитной матрице парамагнитных фаз, которые в соответствие с диаграммами состояния систем железо-азот и железо-титан не могут образовываться в областях «железных» углов диаграмм состояния.

Обнаруженное противоречие можно попытаться объяснить, предположив, что в состав парамагнитной фазы, образующейся при внедрении атомов азота и титана в поверхностный слой, кроме сформировавшихся указанных фаз за счет повышенного содержания внедренных ионов, входит также γ - фаза (например, азотного аустенита), образующаяся при быстром остывании нагретого до высоких температур поверхностного слоя.

Це підтверджується приведеними вище даними по лазерному импульсному облучення поверхні карбонильного α -железа (рис. 1, 2). Можна зазначити, що місткість парамагнітної фази, що утворюється після облучення азотом і титаном, коррелює з розташуванням центра температурного діапазона існування γ -фази на приведених діаграмах стану (600 і 1150 °C, відповідно) (рис. 7, 8).

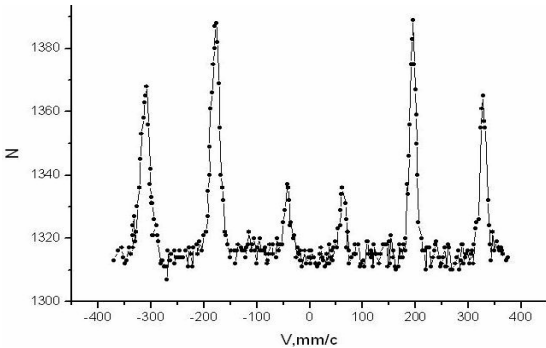


Рис. 1. Спектр МСКЭ поверхности необлученного карбонильного α -железа

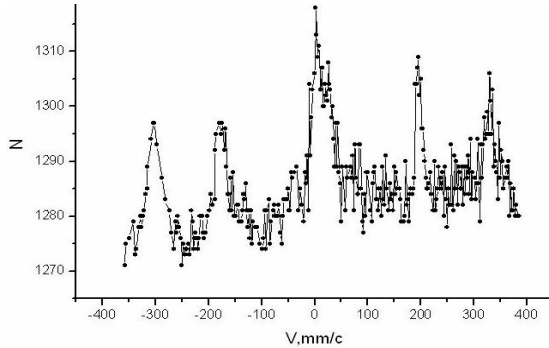


Рис. 2. Спектр МСКЭ облученої імпульсом лазера поверхні карбонильного α -железа

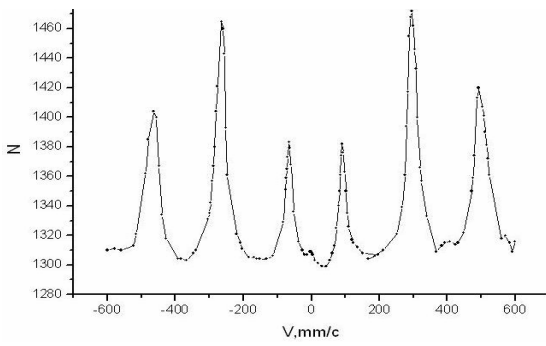


Рис. 3. Спектр необлученої поверхні сталі 20

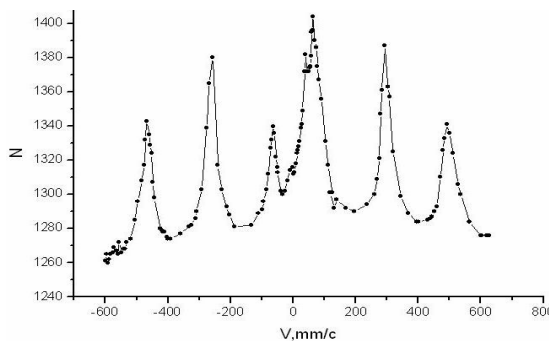


Рис. 4. Спектр сталі 20 після облучення іонами азота.

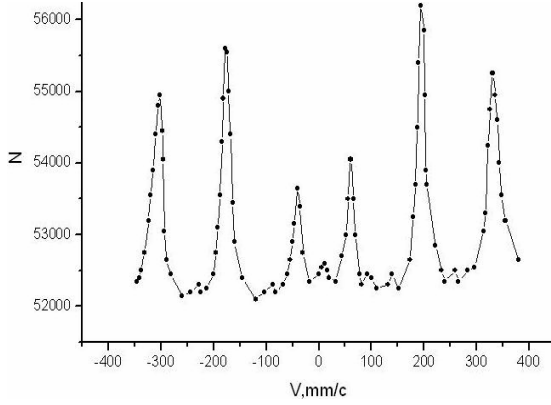


Рис. 5. Спектр необлученої поверхні сталі 20

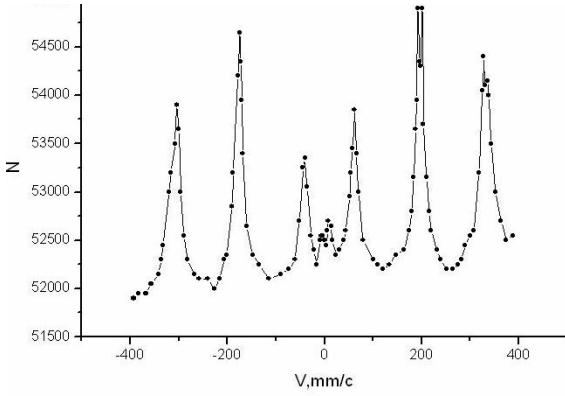


Рис. 6. Спектр сталі 20 обробленої пучком іонів Ti. Слой Ti толщиною 100 Å

Це означає, що при однаковому енергетичному вкладі в процесі внедрення іонів азоту та титану γ -фаза в поверхневому шарі утворюється в більшому кількості після облучення азотом. Не слід виключати і можливість утворення карбіда титану. Таким чином, результати облучення азотом поверхневого шару сталі 20 та обробки пучком іонів Ti з формуванням шару Ti товщиною 100 Å можна пояснити з урахуванням температурних діапазонів утворення γ -фази.

Ці дані підтверджують результатами розподілу профілів атомів віддачі від металу, іонів азоту та титану, проведеними з допомогою програми «SRIM – 2006» при допомозі функції «TRIM Calculation» (рис. 9–12). Отримані дані про профілі розподілу атомів віддачі від металу та віднесені іонами азоту (рис. 9, 10) та титану (рис. 11, 12) підтверджують смещенням приблизно на 100 Å профілів віднесеніх іонами азоту вглиб мишенні по порівнянню з профілів атомів віддачі від металу. Следует отметить, что глубина проникновения ионов азота значительно больше, чем ионов титана, что удовлетворительно коррелирует с большей эффективностью формирования γ -фазы при облучении поверхности стали ионами азота (сравним

рис. 4,6). При увеличении энергии ионов азота пики распределения атомов отдачи железа и ионов азота одновременно смещаются внутрь мишени α -Fe. Аналогичный эффект наблюдается и в случае ионов титана - профили распределения атомов отдачи железа и ионов титана также смещаются внутрь мишени α -Fe. Однако, облучение ионами титана приводит к меньшему относительному смещению профилей атомов отдачи железа и внедренных ионов титана. Введение углерода 0,2% С в поверхностный слой практически не сказывается на расчетных профилях распределения атомов отдачи и ионов титана.

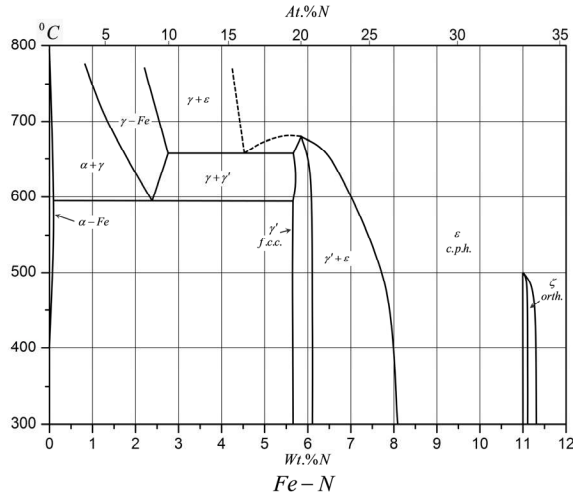


Рис. 7. Диаграмма состояния системы железо-азот

Кроме того, с использованием программы «SRIM – 2006» рассчитывались профили распределения вакансий и смещений в поверхностном слое образцов.

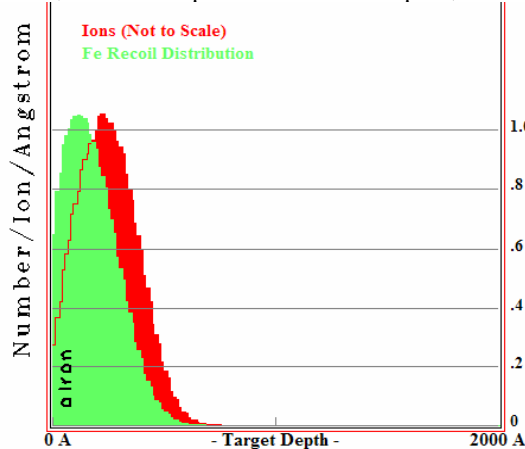


Рис. 9. Профили распределения атомов отдачи железа (слева) и ионов азота с $E = 20$ кэВ (справа) в α -железе

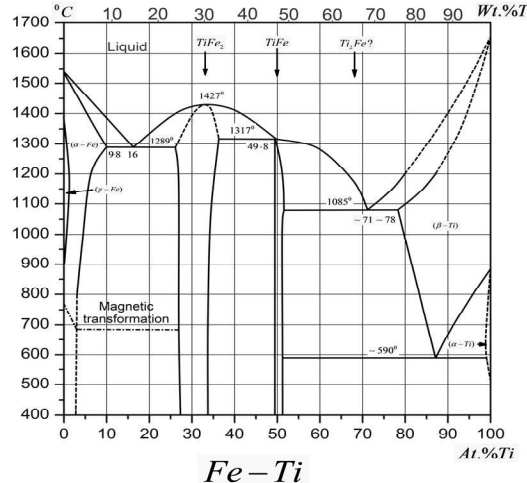


Рис. 8. Диаграмма состояния системы железо-титан

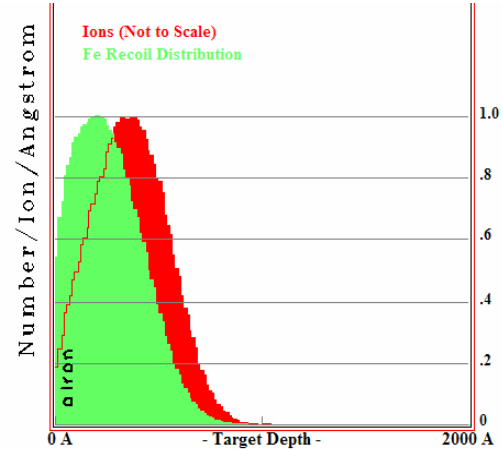


Рис. 10. Профили распределения атомов отдачи железа (слева) и ионов азота с $E = 30$ кэВ (справа) в α -железе

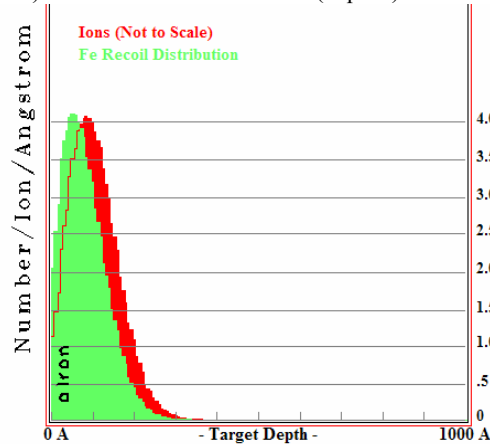


Рис. 11. Профили распределения атомов отдачи железа (слева) и ионов титана с $E = 22$ кэВ (справа) в α -железе

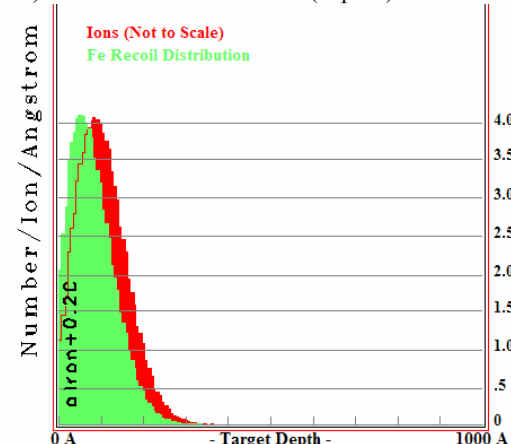


Рис. 12. Профили распределения атомов отдачи железа (слева) и ионов титана с $E = 22$ кэВ (справа) в мишени (α -железо + 0,2% углерода)

Таким образом, при анализе лазерного и ионного воздействия в связи с образованием при облучении па-

рамагнітних фаз сложного складу виникає завдання дослідження впливу азоту та титану, лазерного імпульсного діяння на структуру аустенітних матеріалів та їх поверхні. К таким матеріалам відносяться широко розповсюджені аустенітні корозійностійкі сталі з пониженим вмістом вуглецю (0,06–0,12 %C). Основним фактором, обмежуючим використання аустенітних корозійностійкіх сталей, як конструкційних матеріалів для швидких реакторів та реакторів 4 та 5-го поколінь, є радіаційне розпухання [9]. Необхідна стійкість аустенітних сталей до розпухання досягається відповідним легуванням та термомеханічною обробкою. Радіаційне розпухання багатокомпонентних сталей виникає як результат складних структурно-фазових перетворень під час облучення. Радіаційну стійкість можна підвищити за допомогою збільшення стабільності мультишарової структури сталей – твердий розчин, дислокаційна структура, система відкладів вторинних фаз, межі кристалічних зерен. Серед радіаційних процесів виділяється радіаційно-стимулювана сегрегація, яка призводить до неоднорідності твердого розчину та формування відкладів.. Потім зростання радіаційної стійкості сталей може досягнутися за допомогою створення системи стабільних мелкодисперсних відкладів [9]. Локальне змінення складу, обумовлене радіаційно-стимулюованою сегрегацією, призводить до формування відкладів різних типів, серед яких слід обратити увагу на відкладів, піддавляючих розпухання в результаті ускореної рекомбінації точечних дефектів на поверхні зерна відкладів-матриця. Це карбиди MC (з основного TiC, NbC, VC), фосфиди Fe_2P чи Ni_3Ti .

Також комбінація та оптимізація процесів лазерної та іонної обробки (іонами азота та титану) для формування комплексних поверхневих шарів, наприклад, $(FeTi)N$ може приводити до значительної модифікації поверхні сталей, як і в випадку електронного [10], чи γ -облучення сталей, та враховуючи склад приведених фаз з титаном та азотом в цій роботі проведено дослідження мікроструктури сталі X18H10T, додатково легованої наночастицами нітрида титану.

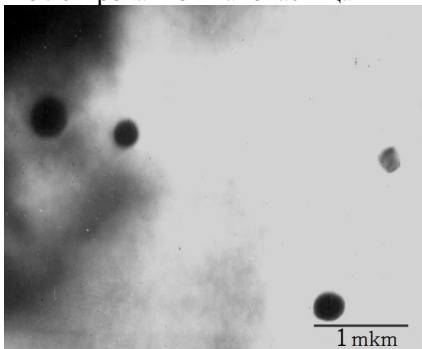


Рис. 13. Мікрофотографія исходного сплава X18H10T

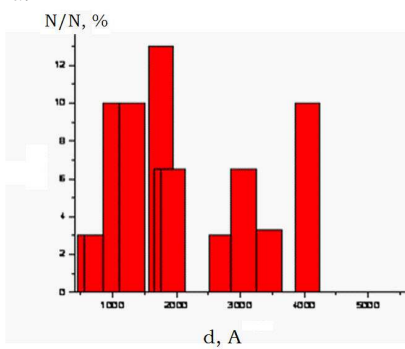


Рис. 14. Распределение включений по размерам в X18H10T

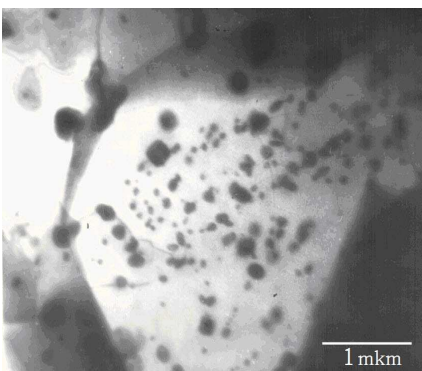


Рис. 15. Мікрофотографія сплава X18H10T+0,04 %TiN

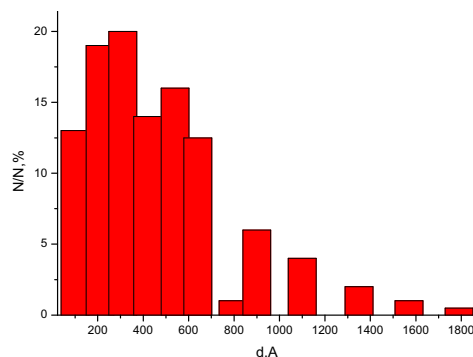


Рис. 16. Распределение включений в X18H10T+0,04% TiN

На рис. 13–16 приведені мікрофотографії исходної та легованої частицами нітрида титану сталі X18H10T, та розподілення частинок відкладів (з основного карбіда титану) по розмірам.

Легування наночастицами нітрида титану приводить до зсуву центра розподілення в область середніх значень близько 30 нм порівняно з исходним, перевищуючим 100 нм. При цьому змінюється також форма розподілення частинок по розмірам (рис. 14, 16), трансформуючись в нормальну розподілення.

Лазерне імпульсне облучення поверхні сталі X18H10T приводить до значительного зміненню структури поверхні. Крім змін, відмінених вище волнообразних структур складної форми (по порівнянню з волновими структурами, виявленими раніше та вказаними в [5]), відбувається переорієнтація частинок відкладів другої фази в поверхневому шарі, збільшення розмірів зерен, змінення їх форм. Розмір зерен в центрі облученого пятна (рис. 18) зростає на деяких ділянках поверхні до 40 мкм. Зерна в основному мають форму, схожу з рівносіжною. Наблюдаються пори та великі відкладі.

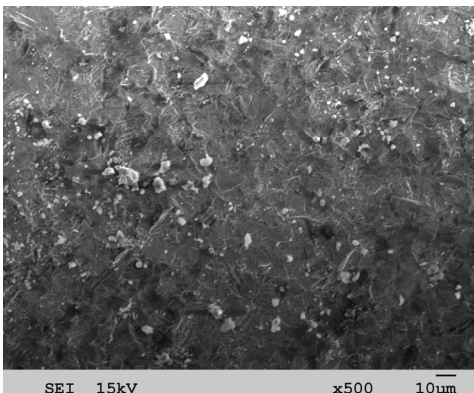


Рис. 17. Участок X18H10T на границе облученного пятна (вверху) и необлученной части поверхности (внизу)

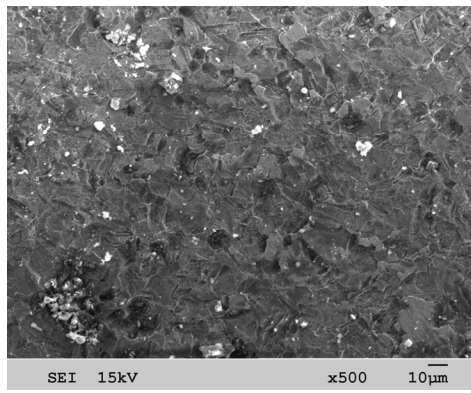


Рис. 18. Центр облученного лазером пятна на поверхности стали X18H10T

На границе облученного пятна (рис. 17 вверху) и необлученной части поверхности (рис. 17 внизу) наблюдаются включения игольчатой формы, ось которых направлена по градиенту температуры при действии лазерного импульса.

ВЫВОДЫ

По данным мессбауэровской спектроскопии конверсионных электронов облучение альфа-железа и ферритных сталей приводит к образованию в приповерхностном слое исходного ферромагнитного материала значительного количества парамагнитной фазы с параметрами спектра рассеяния близкими к параметрам аустенитной фазы. Количество парамагнитной фазы зависит от содержания углерода в материале и, например, для чистого карбонильного железа составляет от 20 до 30% в зависимости от мощности лазерного импульса. При облучении на поверхности железа и сталей наряду с формированием парамагнитной фазы образуются ступенчатые структуры волнообразного типа, обусловленные процессами расплавления и сверхбыстрого охлаждения поверхностного слоя. По данным растровой электронной микроскопии среднее расстояние между отдельными элементами волнообразных структур составляет 20 - 30 мкм. Облучение ионами азота и титана приводит к формированию в поверхностном слое (до 0,3 мкм) нитрида железа и интерметаллида железо-титан. Лазерная обработка поверхности аустенитного материала на примере стали X18H10T приводит к переориентации частиц включений вторых фаз в поверхностном слое, увеличению размеров зерен, изменению их формы.

Таким образом, показано, что в результате лазерного воздействия и облучения ионами азота и титана состав поверхностного слоя сталей существенно изменяется. Обнаруженные особенности образования поверхностных слоев при облучении стальных поверхностей лазерным импульсным излучением, ионами азота и титана способствуют оптимизации процессов формирования комплексных поверхностных слоев, например, (FeTi)N.

СПИСОК ЛИТЕРАТУРЫ

1. Развитие атомной энергетики России и Украины – фактор устойчивого межгосударственного сотрудничества: материалы совместного совещания-семинара РАН и НАНУ: 21-23 октября 2008 г., ЛОК «Колонтаево» (г. Энергосталь). – М.: Наука, 2009. – 357 с
2. И. М. Неклюдов Проблемы работоспособности материалов основного оборудования АЭС Украины // Прогрессивные материалы и технологии. - Киев: Академperiодика, 2003. - Т. 1. - С.277–295.
3. И.В. Горянин Надежные материалы – основа безопасности атомной энергетики // Мировая энергетика. - 2006. - №7(31). - С.90-91.
4. С.Ф. Морящев Применение лазерной резки и сварки в атомной промышленности //Атомная техника за рубежом.- 1987. - №8. - С.11-16.
5. В.Г. Кириченко, А.И. Кирдин, Т.А. Коваленко, А.В.Остапов Влияние импульсного лазерного облучения на структуру поверхностных слоев циркониевых сплавов //Вісник Харківського національного університету, сер. фізична «Ядра, частинки, поля». - 2007. - №.777. - Вип. 2/34/. - С.41-50.
6. В.Г. Кириченко, А.И. Кирдин. Ядерно-физическое металловедение сталей //Вісник Харківського національного університету, сер. фізична "Ядра, частинки, поля". 2009. - №.845. - Вип. 1/41/. - С.39-61.
7. Г.Г. Гладуш, С.В. Дробязко, В.И. Мянко, Ю.В. Павлович, А.Н Явохин Закалка поверхности металлов излучением импульсно-периодического CO₂-лазера // Поверхность. Физика, химия, механика. - 1987. - №7. - С. 115.
8. В.С. Васильев, А.Н. Геращенко, М.И. Гусева, А.А. Носков, А.М. Сулима, А.Э. Стригин, В.А. Шулов Исследование методом электронной Оже-спектроскопии элементного состава поверхности стали после ионного легирования и испытаний на циклическую высокотемпературную усталость //Поверхность. Физика, химия, механика. – 1987. - №11. - С. 133.
9. В.Н. Воводин, И.М. Неклюдов Эволюция структурного состояния и радиационная стойкость конструкционных материалов. - Киев: Наукова думка, 2006. -376 с.
10. С.А. Письменецкий, В.Г. Кириченко Микродозовая радиационная технология обработки инструмента // Оборудование и инструмент. – 2004. -№6(52) - С.12-14.
11. В.Г. Кириченко, Д.В. Чмиль Структурно-фазовые превращения в аустенитных сталях при отжиге, деформации и гамма-облучении //Вісник Харківського національного університета, сер. фізична "Ядра, частинки, поля". - №574. - Вип. 4/20. - С. 89-92.